

## 热压强对磁化等离子体中静电双流不稳定性的影响

郭书印

(中国西南物理研究所)

1981年9月28日收到

### 一、引言

在等离子体中,当电子与离子之间发生相对运动并且其相对运动速度  $V_D$  超过某个阈值时,体系就会成为不稳定的.例如,当  $T_e = T_i$  而  $V_D > V_{the}$  时就会出现毕尼曼(Buneman)不稳定性;而当  $T_e \gg T_i$  和  $V_D > V_{i,}$  时出现的是离子声 (ion-acoustic) 不稳定性.其中  $T_e$  和  $T_i$  分别为电子和离子的温度;  $V_{the} = \left(\frac{\kappa T_e}{m}\right)^{\frac{1}{2}}$  和  $V_{i,} = \left(\frac{\kappa T_e}{M}\right)^{\frac{1}{2}}$  分别为电子热速度和离子声速;  $m$  和  $M$  分别为电子和离子质量.本文在考虑到电子和离子热压强的情况下,给出了磁化等离子体中静电双流不稳定性的普遍色散关系,把以前文献<sup>[1-3]</sup>中常用的三种不同形式的色散关系作为特例而包括进来.最后对四种形式的色散关系进行了定量计算,给出了不稳定性增长率  $\gamma$  随电子热速度的变化,并且指出由于约束磁场  $B_0$  的作用,出现了两个不稳定性分支——短波分支和长波分支,前者对电子热速度的变化较敏感,而后者则不然.

### 二、色散关系

本文中我们所处理的体系,是由电子和离子构成的双成分等离子体.另外假设电子和离子处在约束磁场  $B_0$  中并且有定向运动速度,为了简单,令体系为均匀的而且  $B_0 = B_0 z$ ,  $E_0 = 0$ ,  $V_{0e} = V_{0e} z$ ,  $V_{0i} = -V_{0i} z$ , 其中  $z$  为沿  $z$  轴的单位矢量,  $V_{0e}$  和  $V_{0i}$  分别为电子和离子

的初始运动速度,于是有  $V_D = V_{0e} + V_{0i}$ . 这种静电问题遵从泊松方程:

$$\nabla^2 \Psi = -4\pi e(n'_i - n'_e). \quad (1)$$

在导出线性化的方程(1)式时,我们利用了最初体系为电中性的条件,其中  $n'_i$  和  $n'_e$  分别表示电子和离子的密度的扰动量即  $n_\alpha = n_{0\alpha} + n'_\alpha$ ,  $\alpha$  可取  $i$  和  $e$ , 而  $E = -\nabla \Psi$ . 方程(1)式中的密度扰动量  $n'_\alpha$  可由连续性方程

$$-(\omega - k_x V_{0\alpha})n'_\alpha + n_{0\alpha} k \cdot v'_\alpha = 0 \quad (2)$$

求出,即

$$n'_\alpha = \frac{n_{0\alpha}}{\omega - k_x V_{0\alpha}} (k_x v'_{\alpha x} + k_y v'_{\alpha y} + k_z v'_{\alpha z}), \quad (3)$$

而(3)式中的速度  $v'_\alpha (V_\alpha = V_{0\alpha} + v'_\alpha)$  满足线性化的方程

$$\left\{ \begin{array}{l} -i(\omega - k_x V_{0\alpha})v'_{\alpha x} - \frac{iq_\alpha}{m_\alpha} k_x \Psi \\ + v'_{\alpha y} \omega_{B\alpha} - i \frac{n'_\alpha \kappa T_\alpha}{n_{0\alpha} m_\alpha} k_x, \\ -i(\omega - k_x V_{0\alpha})v'_{\alpha y} - \frac{iq_\alpha}{m_\alpha} k_y \Psi \\ - v'_{\alpha x} \omega_{B\alpha} - i \frac{n'_\alpha \kappa T_\alpha}{n_{0\alpha} m_\alpha} k_y, \\ -i(\omega - k_x V_{0\alpha})v'_{\alpha z} - \frac{iq_\alpha}{m_\alpha} k_z \Psi \\ - i \frac{n'_\alpha \kappa T_\alpha}{n_{0\alpha} m_\alpha} k_z, \end{array} \right. \quad (4)$$

其中  $\alpha$  为  $e$  和  $i$  时分别对应于电子和离子的量,  $q_\alpha$  为电荷,  $\omega_{B\alpha} = \left| \frac{q_\alpha B_0}{m_\alpha c} \right|$  为电子或离子的回旋频率,  $P_\alpha = n_\alpha \kappa T_\alpha$ . 在导出方程式(4)时假设磁场较弱 ( $\omega_{B\alpha} / \omega_{pe} < 1$ ), 这样温度的各向异性可以忽略. 另外还假设所有扰动量的变化形式为  $e^{i(k \cdot r - \omega t)}$ . 这样由方程(3)和(4)式消

去  $v'_a$ , 得到  $n'_a$  的具体表达式并代入 (1) 式即得普遍色散关系式为

$$1 = \{(\omega + k_x V_{0i})^2 \omega_{pi}^2 \sin^2 \theta + [(\omega + k_x V_{0i})^2 - \omega_{hi}^2] \omega_{pi}^2 \cos^2 \theta\} / \{(\omega + k_x V_{0i})^2 \times [(\omega + k_x V_{0i})^2 - \omega_{hi}^2] - \{(\omega + k_x V_{0i})^2 \times \sin^2 \theta + [(\omega + k_x V_{0i})^2 - \omega_{hi}^2] \cos^2 \theta\} k^2 V_{thi}^2\} + \{(\omega - k_x V_{0e})^2 \omega_{pe}^2 \sin^2 \theta + [(\omega - k_x V_{0e})^2 - \omega_{he}^2] \omega_{pe}^2 \cos^2 \theta\} / \{(\omega - k_x V_{0e})^2 [(\omega - k_x V_{0e})^2 - \omega_{he}^2] - \{(\omega - k_x V_{0e})^2 \sin^2 \theta + [(\omega - k_x V_{0e})^2 - \omega_{he}^2] \cos^2 \theta\} k^2 V_{the}^2\}, \quad (5)$$

其中  $\omega_{pa}^2 = \frac{4\pi n_a q_a^2}{m_a}$  为电子或离子的等离子体频率,  $k^2 = k_{\perp}^2 + k_{\parallel}^2$ ;  $k_{\perp}^2 = k_x^2 + k_y^2$ ,  $k_{\parallel} = k \sin \theta$ ,  $k_x = k \cos \theta$ . 其坐标系的选择如图 1 所示,  $\theta$  是波传播矢量  $k$  与磁场  $B_0$  之间的夹角.

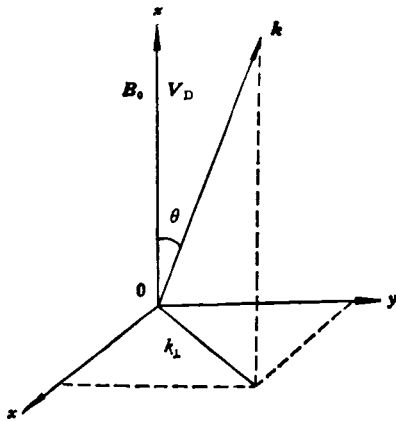


图 1 坐标系

### 三、色散关系的简化结果

从流体方程出发对静电双流不稳定性已进行了广泛地研究, 并得到了不同形式的色散关系<sup>[1-3]</sup>. 可以指出, 这些色散关系的形式都不是色散关系式 (5) 的特例.

(1) 冷等离子体 ( $V_{the} = 0$ ) 并且波沿磁场方向传播 ( $\theta = 0$ ), 这时色散关系式 (5) 简化为

$$1 = \frac{\omega_{pi}^2}{(\omega + k_x V_{0i})^2} + \frac{\omega_{pe}^2}{(\omega - k_x V_{0e})^2}. \quad (6)$$

这就是无外场(或  $k \parallel B_0$ ) 时冷等离子体中静电

双流不稳定性的色散关系<sup>[1]</sup>.

(2)  $\theta = 0$ , 由色散关系式 (5) 可得

$$1 = \frac{\omega_{pi}^2}{(\omega + k_x V_{0i})^2 - k_x^2 V_{thi}^2} + \frac{\omega_{pe}^2}{(\omega - k_x V_{0e})^2 - k_x^2 V_{the}^2}. \quad (7)$$

这是在外场(或  $k \parallel B_0$ ) 的条件下, 考虑到电子和离子的热压强时, 静电双流不稳定性的色散关系<sup>[2]</sup>.

(3)  $V_{the} = 0$ , 这时色散关系式 (5) 就变为

$$1 = \frac{\omega_{pi}^2 \cos^2 \theta}{(\omega + k_x V_{0i})^2} + \frac{\omega_{pi}^2 \sin^2 \theta}{(\omega + k_x V_{0i})^2 - \omega_{hi}^2} + \frac{\omega_{pe}^2 \cos^2 \theta}{(\omega - k_x V_{0e})^2} + \frac{\omega_{pe}^2 \sin^2 \theta}{(\omega - k_x V_{0e})^2 - \omega_{he}^2}. \quad (8)$$

这就是处在外磁场中冷等离子体的静电双流不稳定性的色散关系<sup>[3]</sup>.

### 四、色散关系的定量结果

色散关系 (5)~(8) 式在一般情况下解析求解是很困难的, 为了定量地了解在这四种情况下静电双流不稳定性的变化, 特别是不稳定

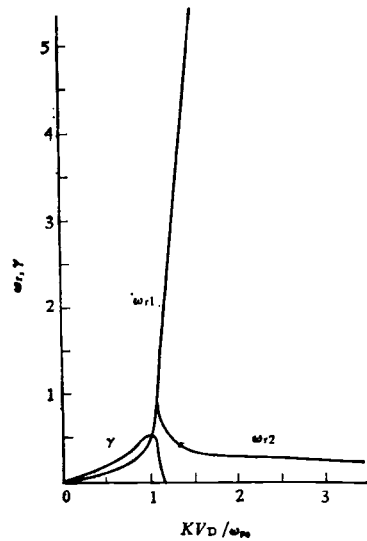


图 2 当  $m/M = 1/1800$  时, 不稳定性增长率  $\gamma$  的变化

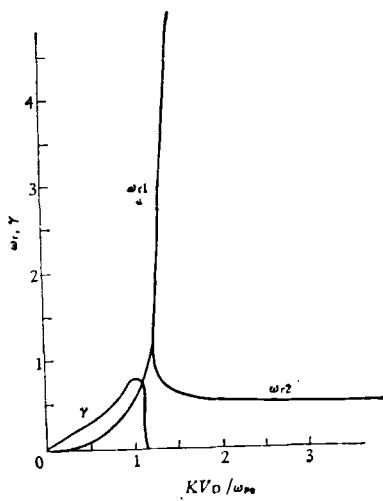


图3 当  $m/M = 1/500$  时, 不稳定性增长率  $\gamma$  的变化

性增长率  $\gamma$  的性质, 我们对这四个色散方程进行了数值计算. 对于色散关系式(6) 其结果如图2和3所示. 因为我们主要关心的是不稳定性增长率  $\gamma$  的变化, 所以在下面的各图中, 不同分支的频率  $\omega_r$  ( $\omega = \omega_r + i\gamma$ ) 没有全示出或全部都未示出. 这里我们研究了电子与离子的质量比  $m/M$  的影响, 由图2和图3可以看出, 随着质量比  $m/M$  的增加, 不稳定性的增长率  $\gamma$  的极大值也上升, 但极大值所对应的纵轴的  $KV_D$  值不变, 即  $\frac{KV_D}{\omega_{pe}} \approx 1$ . 在图4和图5中所

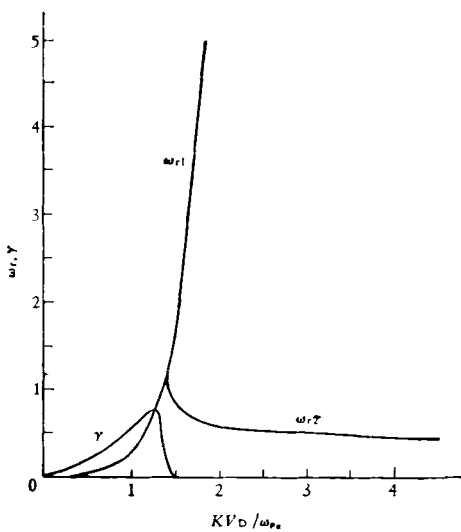


图4 当  $m/M = 1/500, V_{the}/V_D = 0.5$  时, 不稳定性增长率  $\gamma$  的变化

表示的是色散关系(7) 式的数值结果. 和色散关系(6) 式不同, 这里出现了电子和离子热速度的影响, 我们计算了  $V_{the}/V_D = 0.5, 1$  两个值. 结果表明当  $V_{the}/V_D = 0.5$  时体系是不稳定的, 而当  $V_{the}/V_D = 1$  时不稳定性已消失. 但增长率  $\gamma$  的极大值仍然随  $m/M$  的增加而上升, 所不同的是由于热速度的作用, 当  $V_D$  为定值时, 在  $k$  空间里不稳定性的范围扩大了,  $\gamma$  的极大值减小了.

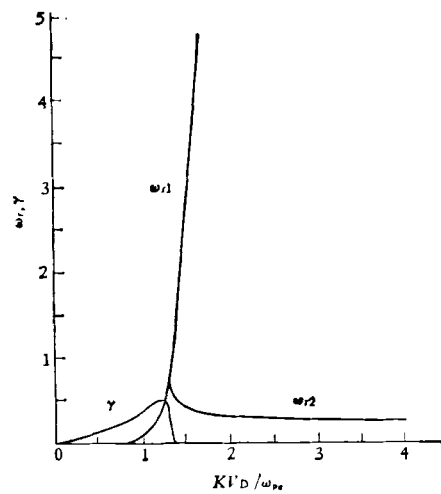


图5 当  $m/M = 1/1800, V_{the}/V_D = 0.5$  时, 不稳定性增长率  $\gamma$  的变化

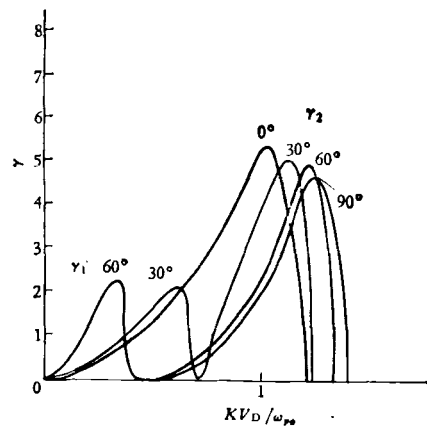


图6 当  $\omega_{Be}/\omega_{pe} = 0.71$  时, 角度  $\theta$  取不同值的情况下  $\gamma$  的变化

在色散关系(8) 式中, 由于考虑了磁场  $B^0$  的作用情况就稍复杂一点. 我们计算了  $\omega_{Be}/\omega_{pe} = 0.71$  的情况, 其结果如图6所示. 由图

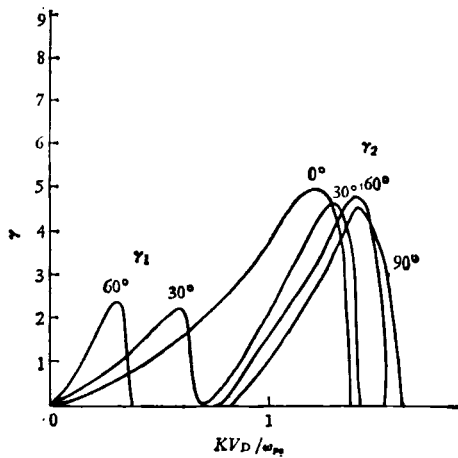


图7 当  $\omega_{Be}/\omega_{pe} = 0.71$  和  $V_{the}/V_D = 0.5$ , 而  $\theta$  取不同值时, 增长率  $\gamma$  的变化

可见除了  $\theta = 0^\circ$  之外, 这里出现了两个不稳定性分支  $\gamma_1$  和  $\gamma_2$ ——长波分支和短波分支. 随着  $\theta$  的增加, 分支  $\gamma_2$  的极大值逐渐减小, 所对应的  $\frac{KV_D}{\omega_{pe}}$  值逐渐加大, 但分支  $\gamma_1$  的变化则相反.

色散关系 (5) 式比起 (8) 式来情况就更复杂了, 除了磁场的作用外, 还有热速度的影响. 我们在  $\omega_{Be}/\omega_{pe} = 0.71$  的条件下, 仍然计算了  $V_{the}/V_D = 0.5, 1$  两种情况, 其结果如图 7 和图 8 所示. 由图 6 和图 7 比较可以看出, 由于热速度的作用, 不稳定性分支  $\gamma_2$  在  $k$  空间里的范围扩大了, 这种情况与图 4 或图 5 相同. 但

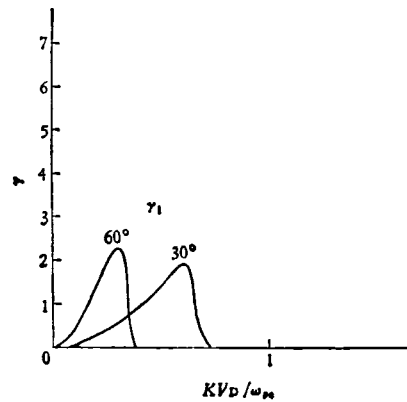


图8 当  $\omega_{Be}/\omega_{pe} = 0.71$  和  $V_{the}/V_D = 1$ ,  $\theta$  取不同值时, 增长率  $\gamma$  的变化

分支  $\gamma_1$  没有明显变化, 这表明此分支对于热速度的影响不敏感. 这点由图 8 可以更清楚地看出, 此时分支  $\gamma_2$  已经完全消失, 只剩下不稳定性分支  $\gamma_1$ .

本工作的计算部分是由朱永康和龙永兴两同志完成的, 特表谢意.

### 参 考 文 献

- [1] A. B. Mikhailovskii, Theory of Plasma Instabilities, Consultants Bureau, New York-London, 1(1974), 11.
- [2] A. A. Веленов и др., УФН, 73 (1961), 701.
- [3] A. B. Mikhailovskii, Theory of Plasma Instabilities, Consultants Bureau, New York-London, 1(1974), 131.

## 经典系统和 Ising 模型的序参数与关联函数

刘家冈<sup>1)</sup> 林 磊

(中国科学院物理研究所)

1981年7月16日收到

### 一、引 言

1965年, Suzuki<sup>[1]</sup> 导出适用于 Ising 模型及其他经典系统关联函数的严格公式. 近年来,

作者之一<sup>[2,3]</sup> 将 Suzuki 的公式展开后用在液晶中, 解释了向列相 (N)—各向同性液相 (I) 相变前行为的一些实验. 最近, 张昭庆等<sup>[4]</sup> 又将

1) 现在在北京林学院基础部工作.